

## การประเมินค่าเชฟาโลเมทริกส์แบบ 3 มิติ ของโครงสร้างกระดูกขากรรไกรและใบหน้า (กรณีศึกษาเบื้องต้น)

### 3D Cephalometric Analysis of a Crano-Maxillofacial skull: Preliminary Study

สุภกิจ รูปขันธ์<sup>1\*</sup> สุรัสิทธิ์ ปิยะศิลป์<sup>2</sup> กฤณณ์ไกรพ์ สิทธิเสรีประทีป<sup>3</sup> และชุดมิพร เรืองสิทธิ์<sup>4</sup>

<sup>1,2</sup> ภาควิชาวิศวกรรมเครื่องกล คณะวิศวกรรมศาสตร์ มหาวิทยาลัยขอนแก่น อ.เมือง จ.ขอนแก่น 40002

โทร 0-4320-2845 โทรสาร 0-4320-2849 \*E-mail: [supakit\\_r@hotmail.com](mailto:supakit_r@hotmail.com)<sup>1</sup> [surasith@kku.ac.th](mailto:surasith@kku.ac.th)<sup>2</sup>

<sup>3</sup>ห้องปฏิบัติการคอมพิวเตอร์ช่วงงานทางการแพทย์ ศูนย์เทคโนโลยีโลหะและวัสดุแห่งชาติ ต.พหลโยธิน ต.คลองหนึ่ง อ.คลองหลวง จ.ปทุมธานี 12120 โทร 02-564-6500 ต่อ 4378 โทรสาร 02-564-6501 E-mail: [kriskrs@mtec.or.th](mailto:kriskrs@mtec.or.th)<sup>3</sup>

<sup>4</sup> ภาควิชาทันตกรรมจัดฟัน คณะทันตแพทยศาสตร์ มหาวิทยาลัยขอนแก่น อ.เมือง จ.ขอนแก่น 40002

โทร 0-4320-2405 โทรสาร 0-4320-2862 E-mail: [chutimap@kku.ac.th](mailto:chutimap@kku.ac.th)<sup>4</sup>

S. Rooppakhun<sup>1</sup>, S. Piyasin<sup>2</sup>, K. Sitthiseripratip<sup>3</sup>, and C. Ruangsitt<sup>4</sup>

<sup>1,2</sup> Department of Mechanical Engineering, Faculty of Engineering, Khon Kaen University,Khon Kaen, 40002, Thailand

Tel: 0-4320-2845, Fax: 0-4320-2849, \*E-mail: [supakit\\_r@hotmail.com](mailto:supakit_r@hotmail.com)<sup>1</sup> [surasith@kku.ac.th](mailto:surasith@kku.ac.th)<sup>2</sup>

<sup>3</sup>Computer Aided Medical Technology Laboratory, National Metal and Materials Technology Center, Paholyothin Rd., Klong 1, Klong Luang, Pathumthani, 12120, Thailand, Tel. 0-2564-6500 ext 4378 Fax. 0-2564-6501, E-mail: [kriskrs@mtec.or.th](mailto:kriskrs@mtec.or.th)<sup>3</sup>

<sup>4</sup>Department of Orthodontics, Faculty of Dentistry, Khon Kaen University, Khon Kaen, 40002, Thailand

Tel: 0-4320-2405, Fax: 0-4320-2862 E-mail: [chutimap@kku.ac.th](mailto:chutimap@kku.ac.th)<sup>4</sup>

#### บทคัดย่อ

วัตถุประสงค์ในการศึกษาครั้งนี้ เพื่อทำศึกษาเบื้องต้นในการประเมินค่าเชฟาโลเมทริกส์แบบ 3 มิติ ของโครงสร้างกะโหลกศีรษะ บริเวณกระดูกขากรรไกรและใบหน้าจากข้อมูลการประมาณผลภาพทางคอมพิวเตอร์(Computed Tomography Images) ในการศึกษาได้ทำการกำหนดจุดบนแบบจำลองโครงสร้างกะโหลกศีรษะ เพื่อวัดระยะและค่ามุ่งต่างๆ โดยที่ข้อมูลตำแหน่งทางกายวิภาคต่างๆ ของโครงสร้างกระดูกขากรรไกรและใบหน้าที่ถูกพิจารณาจะอยู่ในรูปแบบคอมพิวเตอร์ช่วยในการออกแบบ 3 มิติ (3D CAD) และสามารถนำไปวิเคราะห์ต่อไป ข้อมูลการประเมินค่าเชฟาโลเมทริกส์แบบ 3 มิติ ดังกล่าวจะเป็นประโยชน์ในการแพทย์สำหรับการวินิจฉัยและการวางแผนรักษาผู้ป่วย ที่มีความผิดปกติของโครงสร้างกระดูกขากรรไกรและใบหน้า

#### Abstract

The purpose of this study is to preliminary evaluate the three-dimensional cephalometric data of a crano-maxillofacial skull using data obtained from computed tomographic images (CT). The method to identify craniofacial landmarks and

measurements is described in the study. Anatomical regions are located, created and stored as template of 3D CAD files for subsequent analysis. This 3D CT cephalometric data provide useful information for diagnosis and treatment planning of crano-maxillofacial deformities patient.

#### 1. บทนำ

ในปัจจุบันการวิเคราะห์ประเมินค่าทางเชฟาโลเมทริกส์ถึงลักษณะโครงสร้างกะโหลกศีรษะและใบหน้ามีความจำเป็นและสำคัญอย่างยิ่ง ในการการแพทย์หลายสาขา กล่าวคือข้อมูลการประเมินค่าทางเชฟาโลเมทริกส์ตั้งกล่าวจะเป็นประโยชน์ต่อแพทย์ในการวินิจฉัยการประเมินการเปลี่ยนแปลงโครงสร้างกระดูกก่อนและหลังการรักษา อันจะนำไปสู่การวางแผนผ่าตัดรักษาผู้ป่วยที่มีประสาทสัมภาระ ทั้งนี้การวิเคราะห์ทางเชฟาโลเมทริกส์นั้น จะต้องทำการเปรียบเทียบกับค่ามาตรฐานที่เป็นตัวแทนของกลุ่มคนที่มีโครงสร้างของใบหน้า กระดูกขากรรไกร และการสบพัน ปักกิหรือทำการเปรียบเทียบสัดส่วนของใบหน้าในบุคคลคนเดียวกัน ค่ามาตรฐานที่ใช้เป็นเกณฑ์ในการเปรียบเทียบนั้น จะมีความแตกต่างกันตาม เพศ อายุ และเชื้อชาติ ในทางการแพทย์การประเมินค่าทางเชฟา-

โลเมทริกส์ในโครงสร้างกะโหลกศีรษะและใบหน้าส่วนใหญ่ พบว่าจะกระทำโดยการได้ข้อมูลจากภาพรังสีหรือจากเครื่องซีทีสแกนในลักษณะภาพ 2 มิติ ของภาพกะโหลกศีรษะและใบหน้าด้านข้างและหน้าต่างกล่าวคือแพทย์จะทำการกำหนดจุดสำคัญ(Landmarks) รวมทั้งคัดลอกลายเส้นและระนาบจากภาพรังสีก่อนทำการวิเคราะห์ต่อไป[1,2] ทั้งนี้ ส่วนมากพบว่าแพทย์จะทำการวัดมุมและวัดระยะจากภาพถ่ายรังสี ตามหลักการวิเคราะห์ที่มีผู้คิดค้นไว้ และให้ nimax ของจุดสำคัญขึ้นมา และมักจะเรียกว่าวิธีการที่คิดค้นตามชื่อของผู้ที่คิดขึ้นเป็นคนแรก เช่น การวิเคราะห์ของ Downs, การวิเคราะห์ของ Steiner, การวิเคราะห์ของ Ricketts, การวิเคราะห์ของ McNamara เป็นต้น

ในการการแพทย์บึงสาขา การรักษาและวินิจฉัยผู้ป่วยด้วยการประเมินค่าทางเชฟ่าโลเมทริกส์ในรูปแบบ 2 มิติ พบว่าข้อมูลที่จำเป็นในการวิเคราะห์ยังไม่เพียงพอ[3,4,5] ซึ่งการประมวลผลภาพทางการแพทย์ในลักษณะ 2 มิติ นั้นยังมีข้อจำกัดในการประเมินได้เพียงแค่ในระนาบ sagittal หรือระนาบ coronal เท่านั้น หรือหากบางกรณีก็จะกระทำด้วยการนำเอาข้อมูลภาพรังสีเชฟ่าโลเมทริกส์ด้านข้าง และในแนวหน้าหลังมาสัมพันธ์กันในลักษณะของการสร้างโมโนภาพ[3] โดยที่การวิเคราะห์ด้วยการสร้างแบบจำลองจากข้อมูลซีทีสแกน เพื่อทำการกำหนดจุดสำคัญลงในแบบจำลอง 3 มิติ จะเป็นวิธีการที่สามารถแก้ไขปัญหาดังกล่าวได้ รวมทั้งยังช่วยให้การประเมินค่าเชฟ่าโลเมทริกส์มีความแม่นยำมากขึ้น[6,7,8,9] นอกจากนี้การวิเคราะห์ข้อมูลด้วยการสร้างแบบจำลองทางคอมพิวเตอร์จากการประมวลผลภาพด้วยเครื่องซีทีสแกน และเทคโนโลยีการสร้างต้นแบบบรรเทาทุบเห็นอย่างแพร่หลาย และได้กลยุทธ์มาเป็นสิ่งจำเป็นในการประยุกต์ใช้ทางคลินิกของศัลยกรรมแพทย์ในเวลาต่อมาด้วย

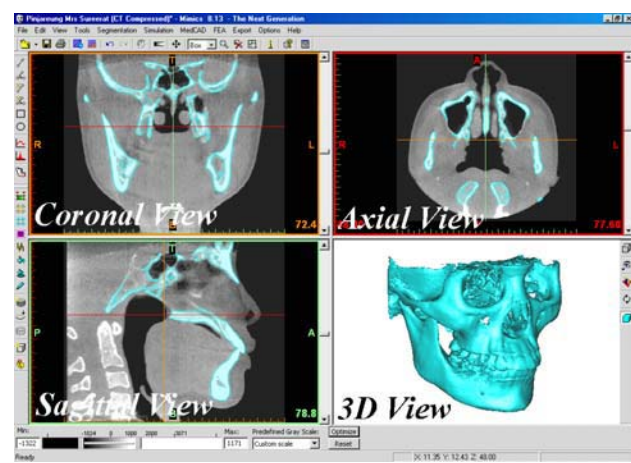
จากการศึกษาที่ผ่านมาพบว่าข้อมูลการประเมินค่าทางเชฟ่าโลเมทริกส์ของโครงสร้างกะโหลกศีรษะและใบหน้าในลักษณะ 3 มิติ ในคนไทยโดยตรงนั้นยังไม่ถูกนำไปพัฒนาที่ควร ในงานวิจัยนี้จึงได้ทำการศึกษาเบื้องต้นในการประเมินค่าทางเชฟ่าโลเมทริกส์ของโครงสร้างกระดูกข้าราชการกรีและใบหน้าของคนไทย ซึ่งข้อมูลดังกล่าวจะมีประโยชน์และเป็นแนวทางเบื้องต้นอย่างมากในการวิเคราะห์ วางแผนและเตรียมการเพื่อการรักษาผู้ป่วยต่างๆ เช่น ผู้ป่วยศัลยกรรมช่องปากและขากรรไกร (Reconstructive oral and maxillofacial surgery) ผู้ป่วยที่มีความพิการของกะโหลกศีรษะ (Dentofacial deformities) ตลอดจนผู้ป่วยที่จำเป็นต้องทำ skull prosthesis ซึ่งจะสามารถใช้เป็นสื่อกลางช่วยในการวิเคราะห์ และวางแผนการรักษาได้อย่างมีประสิทธิภาพ

## 2. วัสดุและวิธีการ

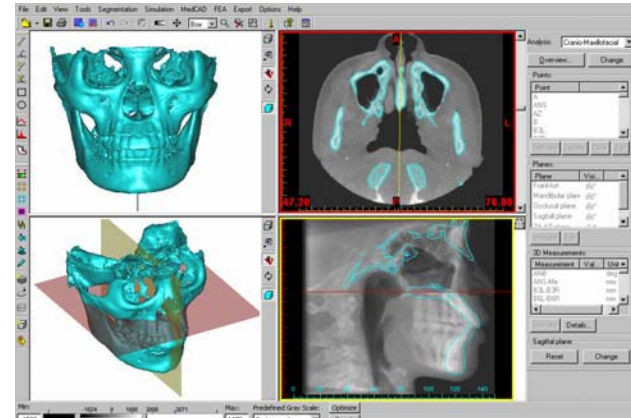
### 2.1 การประมวลผลภาพทางการแพทย์ด้วยคอมพิวเตอร์

ข้อมูลจากการประมวลผลภาพทางการแพทย์ด้วยเครื่องซีทีสแกนขนาดเล็กที่เรียกว่า ไอ-แคท (I-CAT) ซึ่งเป็นเครื่องที่ใช้สำหรับการประมวลผลภาพในงานทางด้านทันตกรรมขนาด  $512 \times 512 \text{ pxl}$ ,  $120 \text{ KV}$  ที่ความหนา  $0.4 \text{ mm}$ . จำนวน  $325$  ชั้น ถูกจัดเก็บอยู่ในรูปแบบไฟล์ DICOM File) ได้ถูกนำมาสร้างแบบจำลองทางคอมพิวเตอร์โครงสร้าง

กะโหลกศีรษะบริเวณกระดูกข้าราชการกรีและใบหน้าในรูปแบบ 3 มิติ ด้วยโปรแกรมคอมพิวเตอร์ที่เรียกว่า MIMICS (Materialise N.V.) โดยใช้เทคนิคการกำหนดจุดซึ่งความหนาแน่น (Hounsfield Range) ที่เหมาะสมสำหรับโครงสร้างกระดูก (Hard tissue) ของทุกๆ ชั้นความหนา  $0.4 \text{ mm}$ . ซึ่งแบบจำลองดังกล่าวจะในรูปแบบ STL File (รูปที่ 1)



รูปที่ 1. แบบจำลองโครงสร้างกระดูกข้าราชการกรีและใบหน้าในภาพมุมมอง 2 มิติ และ 3 มิติ



รูปที่ 2. การวิเคราะห์แบบจำลองในโปรแกรม MIMICS ในส่วนโมดูล Anthrometric analysis

### 2.2 การกำหนดและคำจำกัดความของจุดสำคัญ

แบบจำลองโครงสร้างกระดูกข้าราชการกรีและใบหน้าดังกล่าว จะถูกนำไปประเมินค่าเชฟ่าโลเมทริกส์ในโมดูลของโปรแกรม MIMICS ที่เรียกว่า Anthrometric analysis ดังแสดงในรูปที่ 2 ซึ่งแบบจำลองดังกล่าวทำทำการพิจารณาบริเวณที่สำคัญทางกายวิภาคของโครงสร้างกระดูก 4 ส่วน ดังนี้ คือ anterior cranial base, nasomaxillary complex, mandible และ the dentition โดยที่ในแต่ละส่วนจะถูกกำหนดจุดสำคัญ และมีคำจำกัดความของค่าการวัดเป็นไปตามตารางที่ 1 และ 2 ตามลำดับ ซึ่งประกอบไปด้วยจุดสำคัญทั้งสิ้น 33 จุด และค่าการวัดในลักษณะเชิงเส้นและมุม รวมทั้งสิ้น 21 ค่า

โดยที่ในการกำหนดจุดสำคัญนั้นจะกระทำได้โดยการกำหนดลงในภาพแบบจำลอง 3 มิติ ในขณะเดียวกันจุดสำคัญดังกล่าวจะปรากฏที่

ตารางที่ 1. คำจำกัดความของจุดสำคัญ

Landmark Landmark definition

Anterior cranial base

|     |  |
|-----|--|
| N   | Nasion : the intersection of the internasal and frontonasal sutures in the midsagittal plane |
| S   | Sella turcica : geometric center of pituitary fossa  |
| PoL | Porion Left : the most upper point on left bony external auditory meatus                     |
| PoR | Porion Right : the most upper point on right bony external auditory meatus                   |

Nasomaxillaery complex

|     |   |
|-----|---|
| A   | Position of deepest concavity on anterior profile of maxilla                                      |
| ANS | Tip of Anterior Nasal Spine   |
| ZA  | Center of the root of the left zygomatic arch   |
| AZ  | Center of the root of the right zygomatic arch  |
| JL  | Jugal Left : intersection of the outline of the tuberosity of the maxilla and zygomatic buttress  |
| JR  | Jugal Right : intersection of the outline of the tuberosity of the maxilla and zygomatic buttress |
| NL  | Left Nasal point  |
| NR  | Right Nasal point   |
| OrL | Orbitale Left: the most a inferior point on left orbit's margin                                   |
| OrR | Orbitale Right: the most a inferior point on right orbit's margin                                 |
| ZL  | Medial margin of the left zygomaticofrontal suture  |
| ZR  | Medial margin of the right zygomaticofrontal suture   |

Mandible

|       |  |
|-------|--|
| B     | Position of deepest concavity on anterior profile of mandible                |
| CondL | Condylion Left : the most superior point on left mandibular condile          |
| CondR | Condylion Right : the most superior point on right mandibular condile        |
| Gn    | Gnathion : in the midline, the lowest point on the lower border of the chin  |
| GoL   | Gonion Left : most inferior point on left angle of mandible                  |
| GoR   | Gonion Right : most inferior point on right angle of mandible                |
| ImL   | Antegonial Notch Left  |
| ImR   | Antegonial Notch Right   |
| Me    | Menton : the most inferior point of the bony mandibular symphysis anteriorly |
| Pog   | Pogonion : the most anterior point on the bony chin in the midsagittal plane |

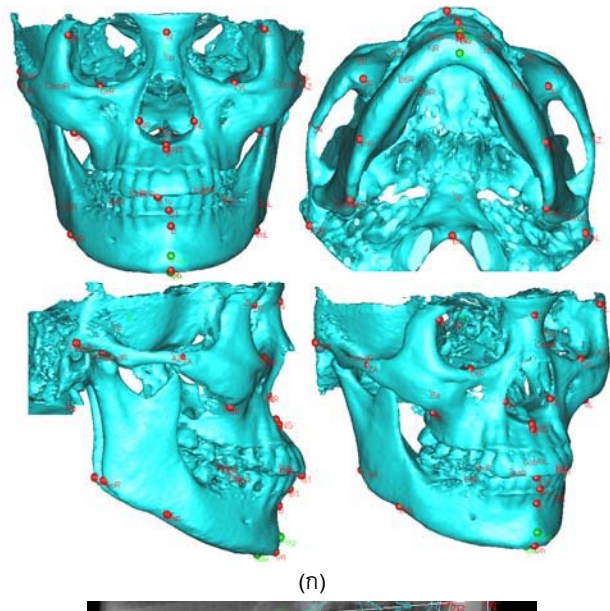
Dentition

|      |  |
|------|--|
| B3L  | Tip of left lower canine   |
| B3R  | Tip of right lower canine  |
| B6L  | Buccal surface of left 1st molar   |
| B6R  | Buccal surface of right 1st molar  |
| Is1u | Incision superior : most occlusal point of upper incisor   |
| MoL  | the overbiting point of the left first molars<br>(if present) or the distal tip of the fist left molar   |
| MoR  | the overbiting point of the Right first molars<br>(if present) or the distal tip of the fist right molar |

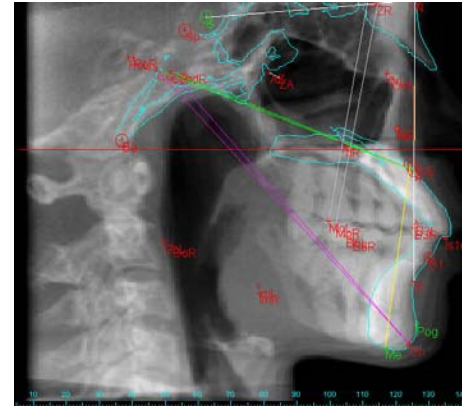
ภาพมุมมอง 2 มิติ โดยที่ในการกำหนดจุดตามคำนิยามนั้นจะใช้เทคนิค วิธีการเลือกภาพตัดขวางในมุมมองระนาบ 2 มิติ ทั้ง 3 ระนาบไปบนแบบจำลอง เพื่อพิจารณาจุดตั้งกล่าวไว้หัวร่องตามคำนิยามและทำการกำหนดตำแหน่งจุดสำคัญ ทั้งนี้จะกระทำโดยผู้วิจัยและทันตะแพทย์ผู้เชี่ยวชาญ จากนั้นโปรแกรมจะทำการคำนวณค่าระยะหักและค่ามุมในรูปแบบ 3 มิติ และในรูปแบบที่โปรเจคชั่นลงในระนาบ Sagittal ซึ่งตำแหน่งจุดสำคัญและค่าการวัดต่างๆ จะถูกจัดเก็บในรูปแบบของไฟล์โปรแกรม MIMICS โดยสามารถเพิ่มเติมและแก้ไขในภายหลังได้

3. ผลการศึกษา

ผลการศึกษาการประเมินค่าทางเชฟาโลเมทริกส์ ด้วยเทคนิคการกำหนดจุดสำคัญลงในแบบจำลอง 3 มิติ ในโครงสร้างกระดูกขากรรไกร และใบหน้าสามารถแสดงค่าระยะและมุมต่างๆ ตามตารางที่ 2 รวมทั้งแสดงจุดสำคัญต่างๆ ในแบบจำลอง 3 มิติ และมุมของการโปรเจคชั่นลงบนระนาบ Sagittal ได้ตามรูปที่ 3(ก) และ 3(ข) ตามลำดับ ซึ่งจากข้อมูลในตารางที่ 2 จะสามารถนำไปวิเคราะห์เบรเยนเทียนกับปกติค่ามาตรฐาน และวิเคราะห์การสมมาตรของโครงสร้างใบหน้าได้



(ก)



(ข)

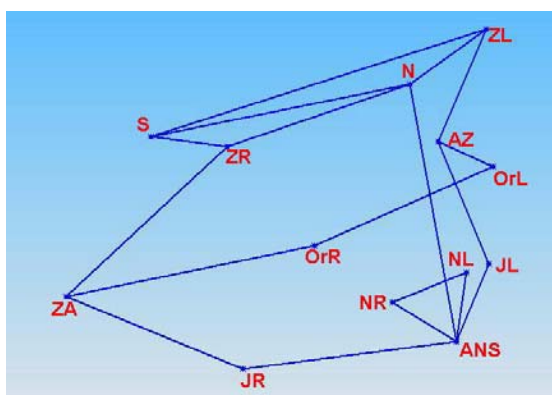
รูปที่ 3. จุดสำคัญต่างๆ ที่ถูกกำหนดบนแบบจำลองโครงสร้างกระดูกขากรรไกรและใบหน้า (ก) บนแบบจำลอง 3 มิติ (ข) มุมมองภาพ 2 มิติ

ตารางที่ 2. ผลการประเมินค่าทางเชฟาโลเมทริกส์

| Measurment | Description                          | Unit | 3D     | 2D *  |
|------------|--------------------------------------|------|--------|-------|
| SNA        | Sagittal maxillary position          | deg  | 83.92  | 83.92 |
| SNB        | Sagittal mandibular position         | deg  | 84.47  | 84.47 |
| ANB        | Sagittal max-mand relationship       | deg  | 0.7    | 0.7   |
| OrLPoL-    | Max-mand vertical relationship-left  | deg  | 24.52  | -     |
| GoLMc      | Max-mand vertical relationship-right | deg  | 23.59  | -     |
| CondL-A    | Maxillary length-left                | mm   | 94.91  | 83.3  |
| CondR-A    | Maxillary length-right               | mm   | 96.34  | 78.74 |
| CondL-Gn   | Mandibular length-left               | mm   | 121.32 | 112.2 |
| CondR-Gn   | Mandibular length-right              | mm   | 122.09 | 109.0 |
| Max-Mand L | Left maxillo-mandibular difference   | mm   | -26.41 | 28.97 |
| Max-Mand R | Right maxillo-mandibular difference  | mm   | -25.75 | 30.25 |
| ANS-Me     | Lower anterior facial height         | mm   | 55.79  | 55.79 |
| ZL-ZR      | Upper mid-face width                 | mm   | 89.06  | 5.26  |
| JL-JR      | Lower mid-face width                 | mm   | 81.17  | 2.45  |
| ZA-AZ      | Zygomatic width                      | mm   | 120.9  | 1.51  |
| NL-NR      | Nasal width                          | mm   | 24.52  | 1.16  |
| ZL-MoL     | Upper facial high-left               | mm   | 71.82  | 67.98 |
| ZR-MoR     | Upper facial high-right              | mm   | 73.41  | 70.44 |
| B3L-B3R    | Lower intercanine width              | mm   | 23.27  | 2.35  |
| B6L-B6R    | Lower intermolar width               | mm   | 49.59  | 2.16  |
| ImL-ImR    | Antigonal notch width                | mm   | 86.67  | 4.95  |

\* 2D คือ ค่าการวัดที่ได้ในรูปแบบการโปรเจกชันลงในระนาบ Sagittal

นอกจากนี้ตำแหน่งพิกัดจุดสำคัญที่ได้จากการวิเคราะห์ยังสามารถนำไปสร้างบนโปรแกรมทางคอมพิวเตอร์ช่วยในการออกแบบ เพื่อนำไปประยุณ์ต่อไปดังแสดงในรูปที่ 4 ซึ่งเป็นการสร้างพิกัดของโครงสร้างบริเวณกระดูกขากรรไกรบนในระบบ 3 มิติ บนโปรแกรมคอมพิวเตอร์ โดยที่ข้อมูลดังกล่าวจะเป็นประโยชน์ในการแพทย์ เช่น การวิเคราะห์ประเมินการเปลี่ยนแปลง หรือวางแผนในการรักษาของโครงสร้างกระดูกก่อนและหลังการผ่าตัด รวมทั้งการวิเคราะห์ทางด้านขอรับวิธีไฟเบอร์เลเซนต์ เป็นต้น



รูปที่ 4. ตำแหน่งของจุดสำคัญบนโปรแกรม CAD ในระบบ 3 มิติ

#### 4. สรุปผล

การพัฒนาความรู้ทางด้านการประเมินค่าทางด้านเชฟาโลเมทริกส์ ของโครงสร้างกระดูกขากรรไกรและใบหน้า นับถึงที่ก่อให้เกิดประโยชน์อย่างมากสำหรับการประยุกต์ใช้งานในทางการการแพทย์ ในงานวิจัยนี้ ได้ทำการศึกษาด้วยการใช้เทคโนโลยีทางคอมพิวเตอร์สร้างแบบจำลอง 3 มิติ จากข้อมูลการประมวลผลภาพด้วยเครื่องซีที สแกน เพื่อประเมินค่าทางเชฟาโลเมทริกส์ในโครงสร้างกระดูกขากรรไกร และใบหน้าในระบบ 3 มิติ ข้อมูลที่ได้จะเป็นแนวทางเบื้องต้นในการศึกษาต่อไปในอนาคต อันก่อให้เกิดประโยชน์ต่อแพทย์ในการการวินิจฉัย วางแผนผ่าตัดรักษา ผู้ป่วยที่มีความผิดปกติของโครงสร้างกระดูกขากรรไกรและใบหน้าได้อย่างมีประสิทธิภาพ

#### 5. ข้อเสนอแนะ

การศึกษารังสีเป็นเพียงการศึกษาเบื้องต้นในการการประเมินค่าเชฟาโลเมทริกส์แบบ 3 มิติ ในคนไทย 1 กรณีเท่านั้น โดยที่ในการประเมินค่าปกติในใบหน้าคนไทยนั้น จะเป็นต้องมีฐานข้อมูลของการประมวลผลภาพทางการแพทย์ด้วยเครื่องซีที สแกนของกลุ่มตัวอย่างที่มีโครงสร้างใบหน้าที่สวยงามและประสบพันปี ที่ทำการคัดเลือกจากทันตแพทย์ รวมทั้งเนื่องจากแพทย์ส่วนใหญ่จะเคยชินกับระบบการกำหนดจุดสำคัญจากการคัดลอกลายบนแผ่นฟิล์มแบบ 2 มิติ ดังนั้นในการกำหนดจุดสำคัญในรูปแบบ 3 มิติ แพทย์ผู้ใช้งานยังคงต้องได้รับฝึกฝนใช้ให้เกิดความชำนาญและเคยชิน

#### 6. กิตติกรรมประกาศ

ผู้เขียนได้รับขอขอบพระคุณ พศ.ทพ.วิจิตร ธรรมนงค์ ผู้อำนวยการศูนย์เทคโนโลยีทันตกรรมชั้นสูง (ADTEC) ในการอนุมัติการห้องปฏิบัติการ ประจำภาควิชาชีวเคมี คณะวิทยาศาสตร์และเทคโนโลยี มหาวิทยาลัยราชภัฏเชียงใหม่ ในการดำเนินการคอมพิวเตอร์ช่วยงานทางการแพทย์ สังกัดศูนย์เทคโนโลยีโลหะและวัสดุแห่งชาติ (MTEC) ที่ให้ความรู้ คำแนะนำ และเอื้อเฟื้อในการใช้โปรแกรม MIMICS

ผู้เขียนขอขอบคุณสถาบันบัณฑิตวิทยาศาสตร์และเทคโนโลยีไทย (TGIS) สำนักงานพัฒนาวิทยาศาสตร์และเทคโนโลยีแห่งชาติ, สวทช. ที่สนับสนุนทุนวิจัยครั้งนี้

#### เอกสารอ้างอิง

- [1] Broadbent B H, 1931 *A new x-ray technique and its application to orthodontia.* The Angle Orthod 1 No.2 45-66
- [2] Peter K J Yen, 1960 *Identification of Landmarks in Cephalometric Radiographs.* The Angle Orthod 30 No.1 35-41
- [3] Kragskov J, et al. 1997 *Comparision of the Reliability of Craniofacial Anatomic landmarks based on Cephalometric Radiographs and Three-Dimensional CT-scan.* Cleft Palate-Craniofacial J. 34 No.2 111-116
- [4] Everett P C, Seldin E B, Troulis M, Kaban L B, 2000 *A 3-D System for planning and simulating minimally-invasive*

- 
- distraction osteogenesis of the facial skeleton.* 3<sup>rd</sup> Int Conference, Medical Image Computing and Computer-Assisted Intervention, MICCAI 2000, Pittsburgh, Penn, USA, p 1029-1039
- [5] Hajee M Y, Ayoub A F, Millte D T, Bock M, Siebert J P, 2002 *Three-dimensional imaging in orthognathic surgery: The clinical application of a new method.* Int Journal of Adult Orthod Orthognathic Surgery, 17 No.4
- [6] Adam G L, et al. 2004 *Comparison between traditional 2-D Cephalometry and a 3-D approach on human dry skulls.* Am J of Orthod. & Dentofacial Orthop. 126 No.4 397-409
- [7] Marcelo GP C, SS Rocha, MW Vannier, 2004 *Craiofacial measurements based on 3D-CT volume rendering: implication for clinical applications.* Dento-Facial Radiology 33 170-176.
- [8] Netherway D J, et al. 2006 *Three-Dimensional Computed Tomography Cephalometry of Plagiocephaly: Asymmetry and shape Analysis.* Clef Palate-Craniofacial J 43 No.2
- [9] Lagravere M O, Hansen L, Harzer W, Major P W, 2006 Plane Orientation for Standardization in 3-dimensional cephalometric analysis with computerized tomography imaging. Am J Orthod and Dentofacial Orthop 129 NO.5
- [10] Park S H, et al. 2006 *A Proposal for New Analysis of Craniofacial Morphology by 3-dimensioal computed tomography.* Am J of Orthod and Dentofacial Orthop 129 No.5